

# 高速改良中断法動きベクトル検出アルゴリズム と低消費電力 CMOS 動きベクトル 検出回路の開発

渡邊友樹 榎本忠儀

中央大学 大学院 理工学研究科 情報工学専攻

〒112-8551 東京都文京区春日 1-13-27

あらまし MPEG-4 対応の動画像符号化 LSI に搭載することを目的に、高速改良中断法 (HS-IBOS) 動きベクトル検出 (ME) アルゴリズムおよび ME 用累算形差分絶対値和回路 (累算形 ADA) を開発した。HS-IBOS は、ブロックマッチング (BM) 過程で、差分絶対値和 ( $D_a$ ) の減少率が 0 となる回数 (換言すると、 $D_a$  値が更新されない回数) が、あらかじめ与えられた回数 ( $d$ )、に達した時、その時点のマクロブロック (MB) を最適な MB として、BM を終了させる、ME アルゴリズムである。テスト画像 “Carphone” (QCIF、64 kbps、15 fps、探索領域サイズ  $p=10$  画素) を用い、 $d$  を 64 に設定した場合、FS 並の画質を維持したまま、ME 速度を FS、従来の中断法のそれぞれ約 5 倍、約 2 倍に高速化できた。また、HS-IBOS を適用すると 0.13- $\mu\text{m}$  CMOS 累算形 ADA の消費電力は 27.9  $\mu\text{W}$  (0.83 V、220 MHz) となり、FS、従来の中断法のそれぞれ約 1/5、約 1/2.5 に低減できた。

キーワード MPEG-4、動きベクトル検出、CMOS、差分絶対値和回路、低消費電力

## High-Speed Improved Breaking-off-Search Motion Estimation Algorithm and Low-Power CMOS Absolute Difference Accumulator for MPEG-4 Motion Estimation

Tomoki Watanabe and Tadayoshi Enomoto

Graduate School of Science & Engineering, Chuo University

1-13-27 Kasuga, Bunkyo-ku, Tokyo-to 112-8551, Japan

**Abstract** To reduce power dissipation of an absolute difference accumulator (ADA) for MPEG-4 motion estimation (ME), a fast ME algorithm called a “high-speed improved breaking-off-search (HS-IBOS)” algorithm was developed. HS-IBOS can improve processing speed of the full-search (FS) method by a factor of 5 to 15, depending on picture types, while maintaining visual quality of the full-search method. At clock frequency of 220 MHz and supply voltage of 0.83 V the power dissipation of a 0.13- $\mu\text{m}$  CMOS ADA using HS-IBOS and a gated-clock pulse was reduced to 27.9  $\mu\text{W}$  which was about 1/5 that of the conventional ADA using FS.

**Key words** MPEG-4, motion estimation algorithm, CMOS, absolute difference accumulator

## 1. はじめに

携帯機器に搭載する動画像符号化 LSI の最重要課題は低消費電力化と小形化である。特に、動き補償のための動きベクトル検出 (Motion Estimation; ME) 回路は、処理量が極めて大きいため、消費電力ならびに回路規模が非常に大きかった。我々はこれまでに全探索動きベクトル検出法 (full-search; FS) に代わる高速 ME アルゴリズム、中断法 (Breaking-Off-Search; BOS) [1、2]ならびに 2 ステップ中断法[3]、を開発し、ME 処理を大幅に削減してきた。この結果、ME 回路の主要回路である差分絶対値和回路 (Absolute Difference accumulator; ADA) を大規模なアレイ形から小形な累算形へ置換えることができた[4]。本論文では、動きベクトルをさらに高速検出する高速改良中断法 (High Speed Improved BOS; HS-IBOS) とその特性を述べる。HS-IBOS は FS 並の高画質を維持し、FS、BOS に比べ、それぞれ 5 倍、2 倍以上の速度で動きベクトルを検出することができる。本 ME アルゴリズムを適用した累算形 ADA の消費電力は 27.9  $\mu$ W (電源電圧 = 0.83 V、クロック周波数 = 220 MHz) であった。これは、FS を適用した累算形 ADA の約 1/5 である。

## 2. 従来の動きベクトル検出アルゴリズム

### 2.1. 全探索法と中断法

全探索法 (FS) は探索領域内の全てのマクロブロック (MB) に対し差分絶対値和 ( $D_a$ ) を求める動きベクトル検出 (ME) アルゴリズムである。FS は探索領域内の全ての MB に対しブロックマッチング (BM) を行うため、高精度に動きベクトルを検出できる。

処理量を大幅に削減できる ME アルゴリズムの一つに中断法 (BOS) がある。BOS は BM の途中で  $D_a$  があらかじめ設定された閾値 ( $D_t$ ) を下回り (第 1 の中断条件)、かつ、 $D_a$  の減少率が 0 となる (第 2 の中断条件) MB を検出した時点で、ME 処理を停止し、以降、未探索領域の BM を省略するアルゴリズムである[1、2]。  $D_t$  の設定方法として、前フレームの平均最小  $D_a$  を現フレームの  $D_t$  とする、直前の (左隣の) MB の最小  $D_a$  を現 MB の  $D_t$  とする、等がある[5]。

### 2.2. 全探索法と中断法の問題点

“Carphone”と呼ばれるテスト画像を用いて、画像解析を行う。  $D_t$  は前フレームの平均最小  $D_a$  とする。画像サイズは QCIF (176 画素  $\times$  144 ライン)、YUV は 4:2:0、フレーム数 ( $N_f$ ) は 382 (I-VOP: 1 フレーム、P-VOP: 381 フレーム) である。1 画素当たりのデータ数は 8 ビット (b) である。以下では、P-VOP 381 フレームに対して、MPEG-4 に準拠したソフトウェアエンコーダを用いて解析する。データレート ( $R_d$ ) は 64 kbps、フレームレート ( $R_f$ ) は 15 fps、に設定する。  $p$  を画素数とすると、探索領域サイズは  $2p$  画素  $\times$   $2p$  ラインで与えられる。以下の解析では  $p$  を 10 画素とした。なお、階層探索、多数画素精度探索、半画素精度探索、動きベクトル情報による探索領域のシフト、等は併用しない。また、BOS では渦巻き探索を用いている。

図 2.1、2.2 にそれぞれ FS、BOS の解析結果を示す。いずれの図も (a) は 8 フレーム目の動き補償画像、(b) は灰色の濃淡で表現した MB 毎の  $D_a$  の大きさ ( $D_a$  が

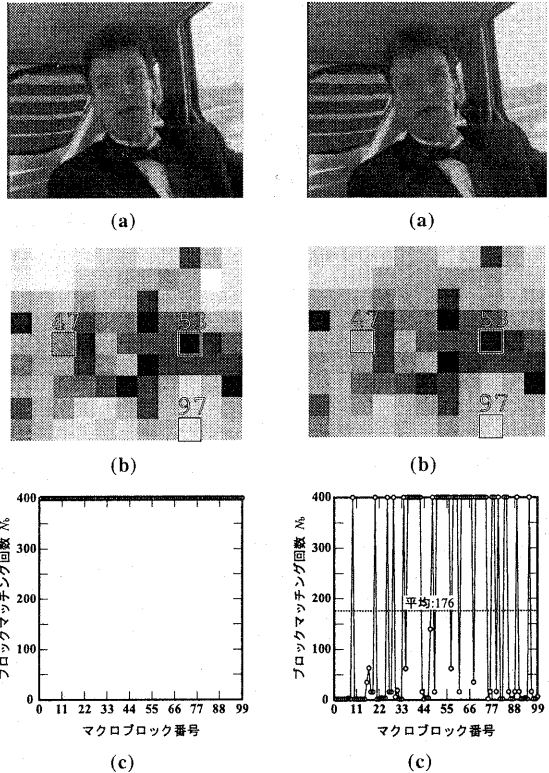


図 2.1 FS を用いた画像解析. (a) 動き補償画像. (b)  $D_a$  の大きさ. (c)  $N_b$ . (“Carphone”, 15 fps, 64 kbps, 15 fps,  $p = 10$  画素、8 フレーム目)

図 2.2 BOS を用いた画像解析. (a) 動き補償画像. (b)  $D_a$  の大きさ. (c)  $N_b$ . (“Carphone”, 15 fps, 64 kbps, 15 fps,  $p = 10$  画素、8 フレーム目)

大きい MB は黒、 $D_a$  が小さい MB は白)、(c) は MB の BM 数 ( $N_b$ ) の推移、である。両 ME アルゴリズムの動き補償画像、 $D_a$  の大きさに大きな差は見られないが、 $N_b$  は大分異なっている。

FS では、全 MB の  $N_b$  は常に  $2p \times 2p$  で、大きい。つまり、ここでは 400 である。一方、BOS では、 $N_b$  が 400 かあるいはほぼ 0 の MB に分けられ、中間の MB が少ない。

8 フレーム目の 3 個の MB に対して、BOS を用いて BM 処理を施し、 $D_a$  の推移を観測した。これを図 2.3 に示す。  $D_t$  は 986 である。MB No.47 (灰) の MB では  $D_a$  が徐々に減少して、 $N_b$  が 140 回で、第 1、第 2 の中断条件を満足して、処理を停止する。この場合、同一条件で全探索領域を BM して得られる最小の  $D_a$  (=930) に近い値、954 が得られている。

MB No. 53 (黒) の MB の場合、17 回目の BM で探索領域内で最小の  $D_a$  (=2190) を持つ MB に到達し、第 2 の中断条件を満足している。しかし、第 1 の中断条件を満足できないため、18 回目以後、全 MB に対して無駄な BM を実行している。

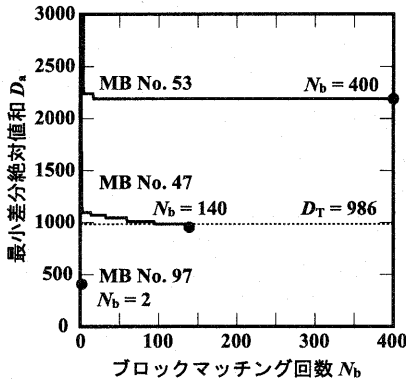


図 2.3 BOS を用いた BM 処理の推移 (最小差分絶対値和の推移). (“Carphone”, 64 kbps, 15 fps,  $p = 10$  画素, 8 フレーム目)

MB No. 97 (白) の MB の場合, 1 回目の BM で  $D_a$  が 407 となり, 第 1 の中断条件を満足する. 2 回目の BM で第 2 の中断条件をも満足して, BM を終了する. しかし, 実際に BM を継続すると,  $D_a$  が 407 となる BM が連続して 4 回続き, 探索領域内で最小となる MB は 5 回目に生じる. このように, 中断法では最適 MB ( $D_a$  が最小の MB) ではない MB を検出する場合がある.

このように BOS は  $D_i$  が大きいと, 簡単に第 1 の中断条件 ( $D_a < D_i$ ) を満足して, 早急に探索を停止したり, あるいは  $D_i$  が小さいと, この条件を満足できずに全探索領域で BM を実行してしまう. つまり, 全ての MB に対して最適な  $D_i$  を設定することは難しい. また, 第 2 の中断条件 ( $D_a$  の減少率=0) も, 適切に機能しない場合がある.

### 3. 高速動きベクトル検出アルゴリズム

#### 3.1. 高速改良中断法

ME 速度 ( $F_s$  を 1 とした相対的な速度. 以下,  $F_s$ ) を高速化するため, BOS の第 1 の中断条件 ( $D_a < D_i$  で, BM を停止) は割愛する. また,  $D_a$  を FS 並に小さくし, 画質を向上させるため, BOS の第 2 の中断条件 ( $D_a$  の減少率が 0 で, BM を停止) をさらに厳しくする. つまり, 「最小  $D_a$  の減少率が 0 となる BM があらかじめ設定された任意の回数 ( $d$ ) だけ継続した時のみ, 最適な MB を検出したとして, BM を終了させる」ことにする. この条件を満たした ME アルゴリズムを高速改良中断法 (HS-IBOS) と呼ぶ.

#### 3.2. 画像解析

図 3.1 に HS-IBOS による画質解析結果 ( $D_a$ , ピーク S/N 比 ( $R_{SN}$ ) と  $d$  の関係) を示す.  $d$  を 1 から増加させて行くと, HS-IBOS で得た “Carphone” の平均最小  $D_a$  (以下, HS-IBOS の  $D_a$ ) は急速に減少する.  $d$  が 32 以上で BOS の  $D_a$  (=1,414) を下回り,  $d$  が 64 以上で FS の  $D_a$  (=1,334) とほぼ等しくなる. 同様に, HS-IBOS で得た “Carphone” の平均  $R_{SN}$  (以下, HS-IBOS の  $R_{SN}$ ) は  $d$  が 32 以上で BOS の  $R_{SN}$  (=32.345 dB) を

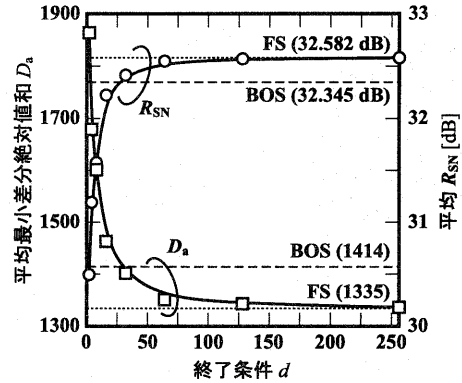


図 3.1 HS-IBOS による画質解析結果 ( $D_a$ ,  $R_{SN}$  と  $d$  の関係). (“Carphone”, 64 kbps, 15 fps,  $p = 10$  画素)

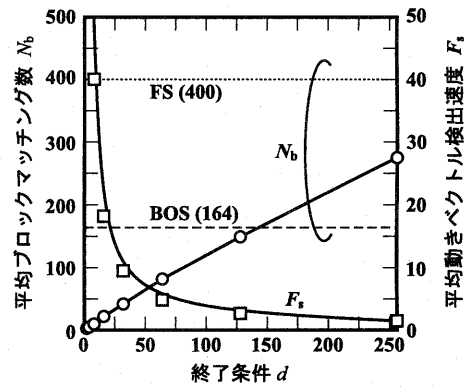


図 3.2 HS-IBOS による処理速度解析結果 ( $N_b$ ,  $F_s$  と  $d$  の関係). (“Carphone”, 64 kbps, 15 fps,  $p = 10$  画素)

上回り,  $d$  が 64 以上で FS の  $R_{SN}$  (=32.852 dB) とほぼ等しくなる.

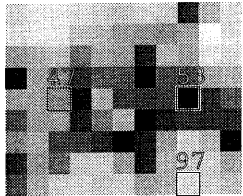
HS-IBOS による処理速度解析結果 ( $N_b$ ,  $F_s$  と  $d$  の関係) を図 3.2 に示す.  $N_b$  は  $d$  に比例して増加し, これに伴い  $F_s$  は減少する. HS-IBOS の平均  $N_b$  は,  $d$  に関係なく FS より小さく,  $d$  が 128 以下で BOS の  $N_b$  (=164) より小さくなる. つまり, HS-IBOS は BOS より高速であると言える. なお, BOS と同様に, HS-IBOS も渦巻き探索を用いている.

図 3.3 に HS-IBOS の解析結果を示す. (a) は 8 フレーム目の動き補償画像, (b) は灰色の濃淡で表現した MB 毎の  $D_a$  の大きさ, (c) は MB の BM 数 ( $N_b$ ) の推移である. なお,  $d$  は 64 である. HS-IBOS の動き補償画像および  $D_a$  は FS の動き補償画像および  $D_a$  (図 2.1) と比べ, 差はほとんど見えない.

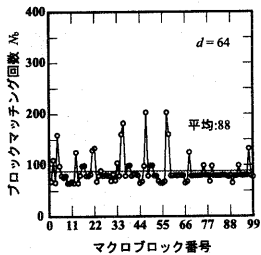
BOS では  $N_b$  が 400 かあるいはほぼ 0 の MB に 2 分され, 中間の MB が少なかった. これに対し, HS-IBOS では  $N_b$  が 400 の MB は 1 個も無く, 設定した  $d$  の値 (64) 付近に集中している. 図 3.3(c) と同様, 図 3.4(a), (b),



(a)

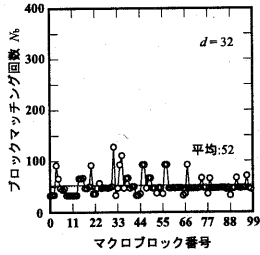


(b)

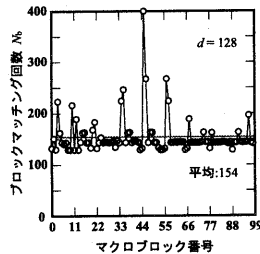


(c)

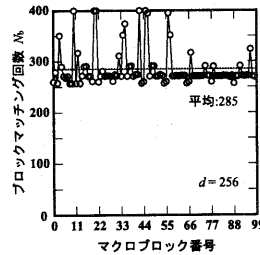
図 3.3 HS-IBOS を用いた画像解析。(a) 動き補償画像。(b)  $D_a$  の大きさ。(c)  $N_b$ . (“Carphone”, 64 kbps, 15 fps,  $p = 10$  画素、8 フレーム目)



(a)



(b)



(c)

図 3.4 HS-IBOS を用いた  $N_b$  の推移。(a)  $d=32$ 。(b)  $d=126$ 。(c)  $d=256$ . (“Carphone”, 64 kbps, 15 fps,  $p = 10$  画素、8 フレーム目)

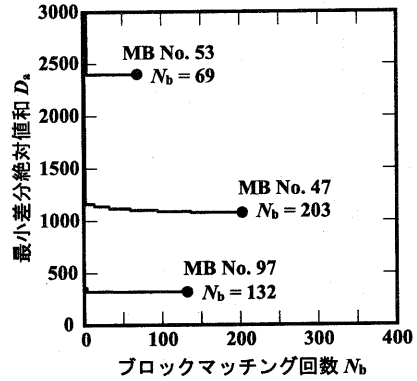


図 3.5 HS-IBOS を用いた BM 処理の推移 (最小差分絶対値和の推移). (“Carphone”, 64 kbps, 15 fps,  $p = 10$  画素、8 フレーム目、 $d=64$ )

(c)に  $d$  がそれぞれ 32, 128, 256 に設定した  $N_b$  の推移を示す。この場合も、 $N_b$  は設定した  $d$  の値付近に集中している。

前出の 3 個の MB (MB No.47, 53, 97) の最小  $D_a$  の推移を図 3.5 に示す。 $d$  は 64 である。MB No.47, 53, 97 はそれぞれ  $N_b$  が 203, 69, 132 回で BM を停止している。また、既に図 3.3 で示されているが、 $N_b$  が 400 に達する MB は 1 個も無く、HS-IBOS の BM 停止条件がうまく機能しているのがわかる。

これまで示した“Carphone”の解析結果より、 $d$  を 64 に設定すると、HS-IBOS の  $D_a$  は FS と同等であり、かつ、 $F_s$  は BOS, FS のそれぞれ 2, 4.88 倍である。

HS-IBOS を用いて、テスト画像“Coastguard”、“Mobile & Calendar”の画質解析結果 ( $D_a$ ,  $R_{SN}$  と  $d$  の関係) を図 3.6 に示す。“Coastguard” (QCIF, YUV が 4:2:0) の解析条件は  $R_d$  が 64 kbps,  $R_f$  が 15 fps,  $p$  が 10 画素、

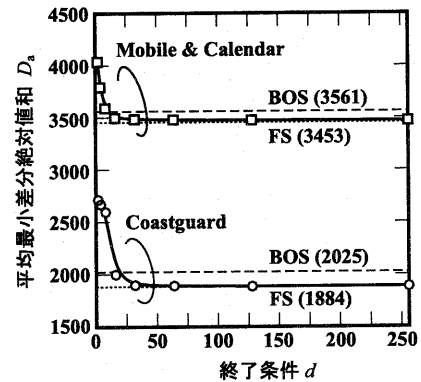
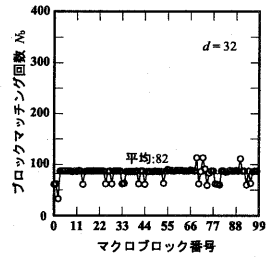
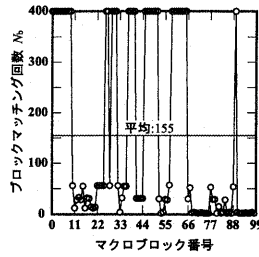
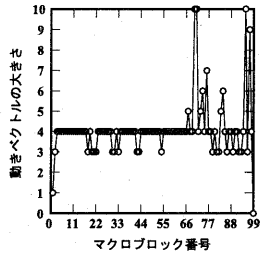
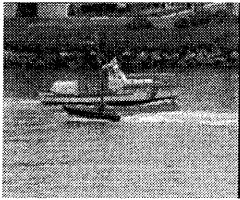


図 3.6 平均最小差分絶対値和  $D_a$  と終了条件  $d$  の関係。“Mobile & Calendar” (384 kbps, 15 fps,  $p = 16$  画素)。“Coastguard” (64 kbps, 15 fps,  $p = 10$  画素)。

“Mobile & Calendar” (CIF, YUV が 4:2:0) の解析条件は  $R_d$  が 384 kbps,  $R_f$  が 15 fps,  $p$  が 10 画素、である。 $d$  を 1 から増加させると、“Coastguard”、“Mobile & Calendar”の  $D_a$  は減少する。 $d$  をさらに増加させると、“Carphone”と同様に、“Coastguard”は  $d > 32$  で、“Mobile & Calendar”は  $d > 64$  で、FS とほぼ等しい  $D_a$  に収束する。すなわち、テスト画像毎に、 $D_a$  が収束する  $d$  が存在する。

図 3.7, 3.8 にそれぞれ“Coastguard”の 70 フレーム目、203 フレーム目の解析結果を示す。両図とも (a) は原画像、(b) FS で得た動きベクトル ( $x$  成分または  $y$  成分のうち大きい方の値)、(c) BOS による MB の BM 数 ( $N_b$ ) の推移、(d) は HS-IBOS による  $N_b$  の推移、である。 $d$  は 32 である。70 フレーム目の動きベクトルは 3 あるいは 4 が多く、動きが速い。これに対し、203 フレーム目の動きベクトルは 0, 1 に集中し、動きが遅い。図 2.1, 2.2 に示した BOS による“Carphone”の  $N_b$  が 2 分化されたように、BOS による“Coastguard”の  $N_b$  は 400、



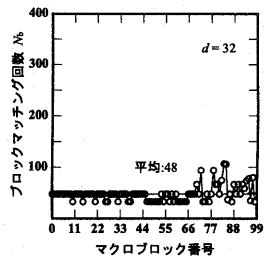
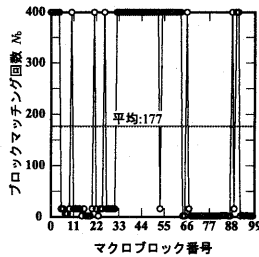
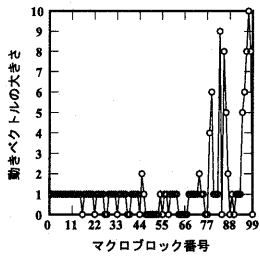
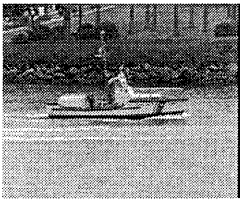
(a)

(b)

(c)

(d)

図 3.7 70 フレーム目の解析結果。(a)原画像。(b) FS で求めた動きベクトルの大きさ。(c)  $N_b$  (IBOS)。(d)  $N_b$  (HS-IBOS,  $d=32$ )。 (“Coastguard”, 64 kbps, 15 fps,  $p=10$  画素)



(a)

(b)

(c)

(d)

図 3.8 203 フレーム目の解析結果。(a)原画像。(b) FS で求めた動きベクトルの大きさ。(c)  $N_b$  (IBOS)。(d)  $N_b$  (HS-IBOS,  $d=32$ )。 (“Coastguard”, 64 kbps, 15 fps,  $p=10$  画素)

表 3.1 各種動きベクトル検出アルゴリズムの画像解析結果。(  $R_f = 15$  fps)

テスト画像	画像サイズ	$R_d$ [kbps]	$N_f$	$p$	アルゴリズム*	平均 $N_b$ (%)**	平均 $F_s$	平均 $D_a$ (%)**	平均 $R_{SN}$ [dB]**
Carphone	QCIF	64	382	10	FS	400 (100.0)	1.00	1,335 ( $\pm 0.00$ )	32.582 ( $\pm 0.000$ )
					IBOS	164 (41.0)	2.44	1,414 ( $+ 5.92$ )	32.345 ( $- 0.237$ )
					HS-IBOS (64)	82 (20.5)	4.88	1,351 ( $+ 1.20$ )	32.547 ( $- 0.035$ )
Coastguard	QCIF	64	300	10	FS	400 (100.0)	1.00	1,884 ( $\pm 0.00$ )	29.415 ( $\pm 0.000$ )
					IBOS	176 (44.0)	2.27	2,025 ( $+ 7.48$ )	28.919 ( $- 0.496$ )
					HS-IBOS (32)	44 (11.0)	9.09	1,897 ( $+ 0.69$ )	29.377 ( $- 0.038$ )
Mobile & Calendar	CIF	384	300	16	FS	1,024 (100.0)	1.00	3,453 ( $\pm 0.00$ )	24.331 ( $\pm 0.000$ )
					IBOS	469 (45.8)	2.18	3,561 ( $+ 3.12$ )	24.142 ( $- 0.189$ )
					HS-IBOS (64)	68 (6.6)	15.06	3,478 ( $+ 0.72$ )	24.317 ( $- 0.014$ )

\* ) 括弧内は  $d$  の値。 \*\* ) 括弧内は FS との比較値。

20-60、ほぼ 0 の MB に 3 分されている。また、BOS による平均  $N_b$  は、動きが速い 70 フレーム目では 155、動きが遅い 203 フレーム目では 177 である。これより、動きの速度(大きさ)と平均  $N_b$  との間に強い相関は見られない。一方、HS-IBOS による平均  $N_b$  は、動きが速い 70 フレーム目が 82、動きが遅い 203 フレーム目が 48、で動きの大小と平均  $N_b$  の大小に相関が見える。つまり、HS-IBOS の平均  $N_b$  は動きベクトルの大小に依存し、かつ、BOS の平均  $N_b$  より小さい。

これまで検討してきた FS、IBOS、HS-IBOS の画像解析結果を表 3.1 に示し、HS-IBOS の画質(平均  $D_a$ )と ME 速度(平均  $F_s$ )を FS、BOS の画質と ME 速度とを以下で比較する。

“Carphone” ( $d = 64$ ) ; HS-IBOS の画質は ( $D_a=1,351$ )

で、IBOS ( $D_a=1,414$ ) より 4.7% 下回り(向上し)、FS ( $D_a=1,334$ ) よりその増加(劣化)はわずか 1.2% である。一方、HS-IBOS の ME 速度は、FS の約 5 倍、BOS の約 2 と、高速化されている。

“Coastguard” ( $d = 32$ ) ; HS-IBOS の画質は ( $D_a=1,897$ ) で、IBOS ( $D_a=2,025$ ) より 6.8% も向上し、FS ( $D_a=1,884$ ) のわずか 0.7% の劣化に止まっている。HS-IBOS の ME 速度は、FS の約 9 倍、BOS の約 2 倍と、大幅に高速化されている。

“Mobile & Calendar” ( $d = 64$ ) ; HS-IBOS の画質は ( $D_a=3,478$ ) で、IBOS ( $D_a=3,561$ ) より 2.4% も向上し、FS ( $D_a=3,453$ ) のわずか 0.72% の劣化である。HS-IBOS の ME 速度は、FS の約 15 倍、BOS の約 2 倍と、大変高速化されている。

## 4. 累算形差分絶対値和回路の低消費電力化

### 4.1. 累算形差分絶対値和回路の設計

0.13- $\mu\text{m}$  CMOS 技術を用いて設計した 2 段パイプライン構成、16 b 累算形差分絶対値和回路(累算形 ADA)を図 4.1 に示す。本回路は 1 画面分の差分絶対値を得る 8b 差分絶対値回路と 1MB 分の差分絶対値を累算する 16 b 累算回路で構成される。両回路とも回路規模、消費電力が小さい逐次桁上げ加算回路を用いている[3, 4, 5]。本累算形 ADA は電源電圧 ( $V_D$ ) が 0.83 V 以上で、220 MHz 動作する。この時、8b 差分絶対値回路と上位 8b 累算回路の消費電力 ( $P_A$ ) は 192.2  $\mu\text{W}$ 、上位 8b 累算回路の消費電力 ( $P_B$ ) は 64.5  $\mu\text{W}$ 、累算形 ADA の総消費電力 ( $P_T=P_A+P_B$ ) は 256.7  $\mu\text{W}$  である。

上位 8b 累算回路の入力は下位 8b 累算回路からの桁上げ信号 ( $C_7=“1”$ または $“0”$ ) である。従って、 $C_7$  が $“1”$ の時のみ、上位 8b 累算回路を動作させれば、回路の消費電力はさらに削減される。また、BM が終了した時点で、ゲートドクロックパルスで回路を停止すれば、回路の総消費電力は大幅に削減される[6]。

### 4.2. 稼働率の算出

上位 8b 累算回路の稼働率 ( $\alpha$ ) は、MB 毎に  $c_7$  が $“1”$  となる回数と画素数 (=256) との比を求め、全マクロブロックに対して平均して、算出できる。クロック周波数 ( $f_c$ ) が 220 MHz の時、最大で 578 回の BM が処理できる。従って、各アルゴリズムで得られる平均  $N_b$  と最大 BM 回数との比を、各アルゴリズムを処理する累算形 ADA の稼働率 ( $\beta$ ) として定義できる。各 ME アルゴリズムの  $\alpha$ 、 $\beta$  を表 4.1 にまとめて示す (テスト画像は $“Carphone”$ 、 $R_d$  は 64 kbps、 $R_f$  は 15 fps、 $p$  は 10 画素)。

### 4.3. 累算形差分絶対値和回路の消費電力

上位 8b 累算回路の消費電力 ( $P_B'$ ) は  $\alpha P_B$  で求められる。さらに、各アルゴリズム毎にゲートドクロックパルスを適用すると、累算形 ADA の総消費電力 ( $P_T'$ ) は  $(P_A+P_B')\beta$  で求められる。FS、BOS、HS-IBOS を適用した  $P_T'$  はそれぞれ 137.4、55.8、27.9  $\mu\text{W}$  となる。HS-IBOS を適用した  $P_T'$  は FS の 1/5、BOS の 1/2.5 と、大幅に削減されている。各アルゴリズムを適用した累算形 ADA の  $P_T'$  を表 4.1 に示す。

### 5. おわりに

最小差分絶対値和 ( $D_a$ ) の減少率が連続して 0 となる連続回数 ( $d$ ) をあらかじめ設定し、これをクリアしたとき、最適なマクロブロックを検出したものとして、ブロックマッチングを終了させる高速改良中断法 (HS-IBOS) を開発した。QCIF テスト画像、 $“Carphone”$  (64 kbps、15 fps、 $p=10$  画素) を使い、 $d=64$  としたとき、 $D_a$  は 1,351 となり全探索法 (FS) の  $D_a$  (=1,334) と同等の結果が得られ、動きベクトル検出速度は FS の約 5 倍、中断法の約 2 倍に高速化できた。 $“Coastguard”$ 、 $“Mobile \& Calendar”$  では、それぞれ FS の約 9 倍、15 倍であった。また、HS-IBOS を用いると、2 段パイプライン、ゲートドクロックを適用した累算形差分絶対値和回路の消費電力は 27.9  $\mu\text{W}$  となり、FS を用いた同回路の消費電力 (137.4  $\mu\text{W}$ ) の約 1/5 に削減できた。今後、 $d$  の設定方法、等を検討する。

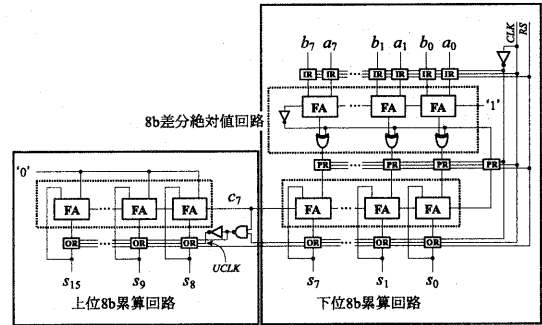


図 4.1 累算形差分絶対値和回路。

表 4.1 0.13- $\mu\text{m}$  CMOS 累算形差分絶対値和回路の特性。 ( $“Carphone”$ 、64 kbps、15 fps、 $p=10$  画素)

アルゴリズム	FS	IBOS	HS-IBOS ( $d=64$ )
上位 8b 累算回路の稼働率 $\alpha$ [%]	9.90 (100.0)	6.71 (67.8)	6.60 (66.7)
回路全体の稼働率 $\beta$ [%]	69.2 (100.0)	28.4 (41.0)	14.2 (20.5)
動作時消費電力 [ $\mu\text{W}$ ]	137.4 (100.0)	55.8 (40.6)	27.9 (20.3)
クロック周波数 $f_c$ [MHz]	220		
電源電圧 $V_D$ [V]	0.83		
論理ゲート数 $n_g$ [個]*	451		
総 FET 数 $n_F$ [個]*	1,468		

\*論理ゲート数および総 FET 数はデザインルールで決まる最小 FET サイズで規格化した値。括弧内は FS との比較値。

### 謝辞

SPICE 用の 0.13- $\mu\text{m}$  MOSFET のモデルパラメータを快く提供して下さいました NEC の関係各位に心より感謝致します。また、ご協力頂いた中央大学教育技術員の原田氏、榎本研究室の関係諸氏に感謝致します。

### 参考文献

- [1] 榎本、笹島、廣部、「中断法動きベクトル検出アルゴリズム」、信学総合大会講演論文集、エレクトロニクス 2、SC-11-6、p.307、1997 年 3 月。
- [2] T. Enomoto and A. Kotabe, “Fast Motion Estimation Algorithm and Low-Power CMOS Motion Estimator for MPEG Encoding”, IEICE Trans. Electron., vol.E86-C, no.4, pp.535-545, April 2003.
- [3] T. Enomoto and A. Kotabe, “Fast Motion Estimation Algorithm and Low Power 0.13  $\mu\text{m}$  CMOS Motion Estimation Circuits”, in Proc. of International Symposium on Circuits and Systems (ISCAS'2001), Sidney, Australia, vol-II, pp.449-452, May 2001.
- [4] 小田部、榎本、「2 ステップ高速中断法アルゴリズムの開発と低消費電力 CMOS 動きベクトル検出回路の設計」、信学技報、ICD2000-54、pp.57-64、2000 年 8 月 24 日。
- [5] 江井、榎本、「MPEG-4 動き補償用 0.13- $\mu\text{m}$  CMOS 差分絶対値和回路の低電力化」、信学技報、ICD2002-58、pp.73-78、2002 年 8 月。
- [6] 渡邊、江井、榎本、「稼働率削減による低電力 CMOS 差分絶対値和回路の設計」、信学総合大会講演論文集、C-12.17、2003 年 3 月。